



Flavio Brulli

		<i>P. Brulli</i>	<i>Flavio Brulli</i>	<i>Flavio Brulli</i>	
B	28.11.2025	117	013	093	Revisione generale
A	31.10.2025	013	013	093	Emissione per autorizzazione
REVISIONE	DATA	ELABORATO	VERIFICATO	APPROVATO	DESCRIZIONE
CODICE PRATICA C.P. 202201881 (e-distribuzione)					TIPOLOGIA IMPIANTO / POTENZA IN IMMISSIONE CP GRILLARA POTENZA IN IMMISSIONE ED IN PRELIEVO 33,00 MW
PROPONENTE ARIAN SOLAR Srl <i>Piazza San Sepolcro, 1 20123 - Milano (MI)</i>					IMPIANTO SE 132 kV GRILLARA
INGEGNERIA & COSTRUZIONI BRULLI Trasmissione					TITOLO RACCORDI 132 kV RELAZIONE CAMPI ELETTRICI E MAGNETICI
SCALA -	FORMATO A4	FOGLIO / DI 1 / 23		N. DOCUMENTO 5 1 0 7 0 4 B	

<div><div><div>BRULLI</div><div>trasmissione</div></div><div>Reggio nell'Emilia - ITALIA</div></div>	<div>Progetto</div> <div>SE 132 kV GRILLARA RACCORDI 132 kV</div> <div>Relazione campi elettrici e magnetici</div>	<div>Documento e revisione</div> <div>510704B</div> <div>2</div>
--	--	--

SOMMARIO

1

PREMESSA.....

3

2

QUADRO NORMATIVO

3

3

DESCRIZIONE DEL PROGETTO.....

4

4

CAMPI ELETTRICI E MAGNETICI GENERATI DALLE STAZIONI DI TRASFORMAZIONE CON ISOLAMENTO IN ARIA.....

5

5

CAMPI ELETTRICI E MAGNETICI GENERATI DAGLI ELETTRODOTTI INTERRATI

6

5.1

Calcolo dei campi elettrici.....

6

5.2

Calcolo del Campo Magnetico.....

6

5.3

Correnti di calcolo

6

5.4

Risultati

7

6

ANALISI DEI RICETTORI

7

7

CONCLUSIONI.....

9

1 PREMESSA

L'oggetto della presente relazione è il calcolo dei campi elettrici e magnetici generati dai raccordi 132 kV alla futura linea in cavo "Ariano - Adria Sud" della nuova stazione elettrica 132 kV "Grillara", ubicata nel Comune di Ariano nel Polesine (Provincia di Rovigo).

Le opere in oggetto verranno realizzate principalmente per consentire la connessione alla RTN di una Cabina Primaria di e-distribuzione, cui sono sottesi anche impianti di produzione energia da fonte rinnovabile. Il distributore è pertanto titolare, e capofila della progettazione, di una connessione della CP in doppia antenna ad una nuova SE (CP 202201881). I produttori, convocati al tavolo tecnico da parte di e-distribuzione, hanno eletto la società EUROPEAN ENERGY ITALY PV HOLDING S.R.L. (CR 382259136) come capofila del tavolo tecnico per la progettazione delle opere di distribuzione e - conseguentemente - di quelle RTN per come richieste da Terna ad e-distribuzione in sede di STMG. La STMG è stata poi volturata alla società progetto Arian Solar Srl.

Le opere di RTN, per le quali è necessaria l'autorizzazione e la successiva costruzione, consistono in una nuova Stazione Elettrica a 132 kV da connettersi in entra-esce sulla futura linea in cavo 132 kV "Ariano-Adria Sud", previo potenziamento/rifacimento della linea RTN a 132 kV "Ariano - Codigoro".

L'elettrodotto in cavo, cui la SE in progetto verrà connessa in entra esci, sarà realizzato con un cavo in alluminio compatto di sezione pari a 1.600 mm², con isolamento in polietilene reticolato (XLPE). L'utilizzo di questo conduttore è previsto anche per i raccordi a questa linea.

In Figura 1 si riporta l'identificazione dell'area individuata per la realizzazione delle opere in progetto.



Figura 1 – Inquadramento su ortofoto

2 QUADRO NORMATIVO

La normativa che regola l'esposizione della popolazione a campi elettromagnetici risale ai primi anni '90. La prima legge emanata, ora abrogata, è il DPCM 23 Aprile 1992 "Limiti massimi di esposizione ai campi elettrico e magnetico generati alla frequenza industriale nominale (50 Hz) negli ambienti abitativi e nell'ambiente esterno": tale normativa fissava la distanza da mantenersi dagli elettrodotti aerei e i valori massimi di esposizione per la popolazione. Con il crescente interesse da parte della popolazione per la tematica in oggetto, è stata avvertita la necessità di una regolamentazione più dettagliata dell'esposizione ai campi elettrici

e magnetici, cui ha fatto seguito l'emanazione di numerose leggi regionali e della legge quadro nazionale. In particolare, la Legge Quadro No. 36 del 22 Febbraio 2001 "Legge quadro sulla protezione dalle esposizioni a campi elettrici, magnetici ed elettromagnetici" ha lo scopo di assicurare la tutela della salute dei lavoratori, delle lavoratrici e della popolazione dagli effetti dell'esposizione a determinati livelli di campi elettrici, magnetici ed elettromagnetici e di assicurare la tutela dell'ambiente e del paesaggio promuovendo l'innovazione tecnologica. Con i successivi decreti attuativi, DPCM 8 Luglio 2003, sono stati fissati i livelli di esposizione, di attenzione e l'obiettivo di qualità da rispettarsi al fine della tutela della salute della popolazione.

Nella Tabella 1 si riporta valori fissati come limite di esposizione, valore di attenzione e obiettivo di qualità per campi elettrici e magnetici prodotti alla frequenza di rete (50 Hz) connessi al funzionamento e all'esercizio degli elettrodotti.

	Campo magnetico (μ T)	Campo elettrico (kV/m)	NOTE
Limite di esposizione	100	5	-
Valore di attenzione	10	-	Da verificarsi in luoghi adibiti a permanenza non inferiore alle 4 ore
Obiettivo di qualità	3	-	

Tabella 1 – Valori come da normativa in vigore

Con il DM del 29 Maggio 2008 "Approvazione della metodologia di calcolo per la determinazione delle fasce di rispetto per gli elettrodotti" viene approvata la metodologia di calcolo per la determinazione delle fasce di rispetto degli elettrodotti, in relazione a quanto previsto dal DPCM 8 Luglio 2003: uno degli scopi è la regolamentazione delle nuove installazioni e/o nuovi insediamenti presso elettrodotti o edifici esistenti.

A tal fine occorre approntare i corretti strumenti di pianificazione territoriale come la previsione di fasce di rispetto, calcolate sulla base di parametri certi e stabili nel lungo periodo. Le fasce di rispetto sono infatti definite come *"lo spazio circostante un elettrodotto, che comprende tutti i punti, al di sopra e al di sotto del livello del suolo, caratterizzati da un'induzione magnetica di intensità maggiore o uguale all'obiettivo di qualità: all'interno delle fasce di rispetto non è consentita alcuna destinazione di edifici ad uso residenziale scolastico sanitario ovvero ad uso che comporti una permanenza non inferiore a quattro ore giorno"*.

Tali fasce di rispetto sono variabili in funzione ai dati caratteristici di ogni tratta o campata considerata in relazione ai dati caratteristici della stessa. Al fine di facilitare la gestione territoriale è stato introdotto il concetto di **Distanza di Prima Approssimazione (DPA)** quale: *"la distanza, in pianta sul livello del suolo, dalla proiezione del centro linea, che garantisce che ogni punto la cui proiezione al suolo disti dalla proiezione del centro linea più di DPA si trovi all'esterno delle fasce di rispetto"*.

La metodologia definita si applica alle linee elettriche aeree e interrate, esistenti o in progetto, con esclusione delle linee a media tensione in cavo cordato ad elica, siano esse interrate o aeree, in quanto in questi casi le fasce associabili hanno ampiezza ridotta, inferiore alle distanze previste dal Decreto Interministeriale 21 Marzo 1988, No. 449 e del DMLLP del 16 Gennaio 1991. Nella normativa viene specificato inoltre che, per le stazioni e cabine primarie, la DPA - e quindi la fascia di rispetto - solitamente rientrano nei confini dell'area di pertinenza dell'impianto stesso. Comunque, nel caso l'autorità competente lo ritenga necessario, dovranno essere calcolate le fasce di rispetto relativamente agli elementi perimetrali (es. portali, sbarre, ecc.).

3 DESCRIZIONE DEL PROGETTO

L'intervento consiste nella progettazione e realizzazione di due elettrodotti 132 kV in cavo interrato che collegheranno la futura stazione 132 kV denominata Grillara alla futura linea in cavo 132 kV "Ariano-Adria Sud". Essi avranno una lunghezza planimetrica pari, rispettivamente, a 123 m e 75 m. Detti raccordi sono descritti nell'apposita relazione, documento 510701 – Relazione tecnica illustrativa raccordi 132 kV.

Entrambi i tracciati interesseranno soltanto il Comune di Ariano nel Polesine, interessando prevalentemente terreni agricoli come da elaborati No. 510422 – Planimetria catastale con aree potenzialmente impegnate, 510423 – Planimetria catastale con piste di cantiere, le cui titolarità sono indicate nei documenti 510441 – Elenco beni soggetti all'apposizione del vincolo preordinato all'esproprio e all'asservimento, e 510445 - Elenco beni soggetti ad occupazione temporanea.

4 CAMPI ELETTRICI E MAGNETICI GENERATI DALLE STAZIONI DI TRASFORMAZIONE CON ISOLAMENTO IN ARIA

La Figura 2 (corrispondente alla figura 1 del report Terna) mostra la planimetria di una tipica stazione 380/132 kV della Terna all'interno della quale è stata effettuata una serie di misure di campo elettrico e magnetico al suolo.

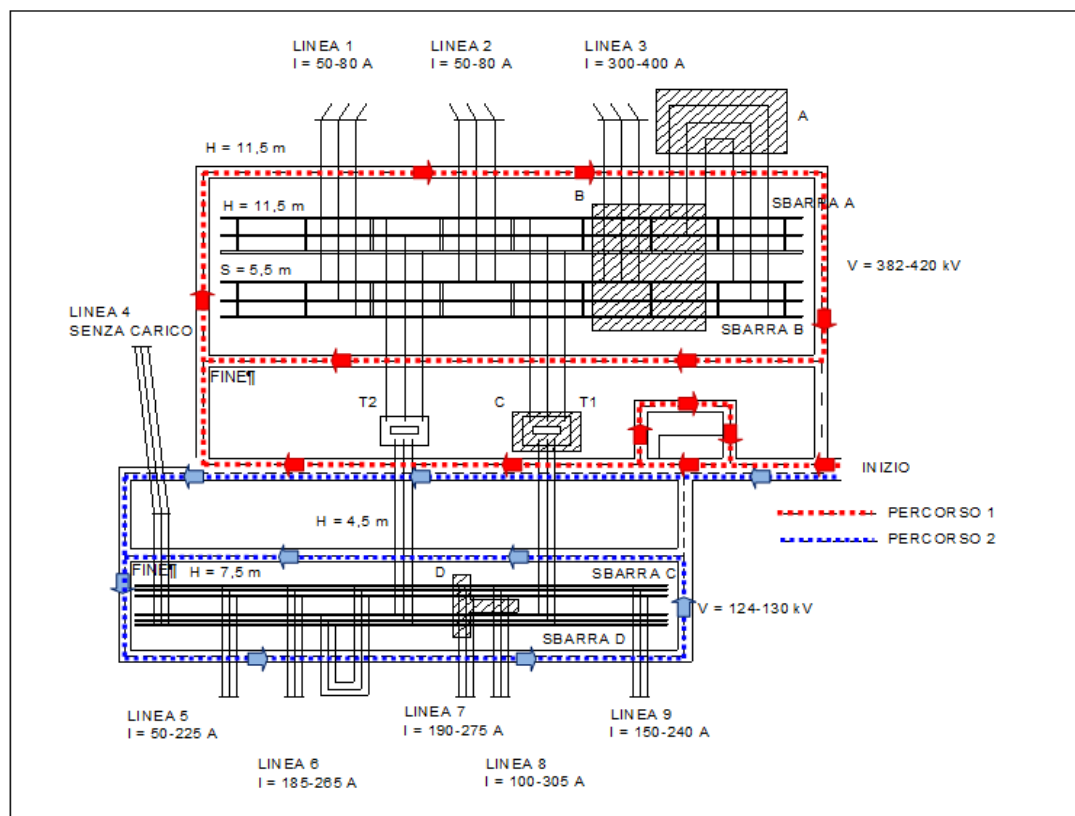


Figura 2 - Pianta di una tipica stazione 380/132 kV con l'indicazione delle principali distanze fase-fase (S) e fase-terra (H), e delle variazioni delle tensioni e delle correnti durante le misurazioni di campo elettrico e magnetico.

La stessa figura fornisce l'indicazione delle principali distanze fase-terra e fase-fase, nonché la tensione sulle sbarre e le correnti nelle varie linee confluenti nella stazione, registrate durante l'esecuzione delle misure. Sono inoltre evidenziate le aree all'interno delle quali sono state effettuate le misure; in particolare, sono evidenziate le zone ove i campi sono stati rilevati per punti utilizzando strumenti portatili (aree A, B, C e D), mentre sono contrassegnate con frecce le vie di transito lungo le quali la misura dei campi è stata effettuata con un'opportuna unità mobile (furgone completamente attrezzato per misurare e registrare con continuità detti campi).

Va sottolineato che, grazie alla modularità degli impianti della stazione, i risultati delle misure effettuate nelle aree suddette sono sufficienti a caratterizzare in modo abbastanza dettagliato tutte le aree interne alla stazione stessa, con particolare attenzione per le zone di più probabile accesso da parte del personale.

Nella Tabella 2 (corrispondente alla tabella 1 del report Terna) è riportata una sintesi dei risultati delle misure di campo elettrico e magnetico effettuate nelle aree A, B, C e D.

Per quanto riguarda le registrazioni effettuate con l'unità mobile, la fig. 2 illustra i profili del campo elettrico e di quello magnetico rilevati lungo il percorso n° 1, quello cioè che interessa prevalentemente la parte a 380 kV della stazione. I valori massimi dei campi elettrici e magnetici esternamente all'area di stazione sono riconducibili ai valori generati dalle linee entranti aeree o in cavo, che sono contenuti nei valori prescritti dalla normativa vigente; l'impatto determinato dalla stazione è quindi compatibile con i valori prescritti dalla normativa stessa.

Area	Numero di punti di misura	Campo Elettrico (kV/m)			Induzione Magnetica (μT)		
		E max	E min	E medio	B max	B min	B medio
A	93	11,7	5,7	8,42	8,37	2,93	6,05
B	249	12,5	0,1	4,97	10,22	0,73	3,38
C	26	3,5	0,1	1,13	9,31	2,87	5,28
D	19	3,1	1,2	1,96	15,15	3,96	10,17

Tabella 2 - Risultati di misura del campo elettrico e dell'induzione magnetica nelle aree A, B, C e D di Figura 2

Per quanto riguarda le registrazioni effettuate con l'unità mobile, la Figura 2 del report Terna illustra i profili del campo elettrico e di quello magnetico rilevati lungo il percorso N.1, quello cioè che interessa prevalentemente la parte a 380 kV della stazione. I valori massimi di campo elettrico e magnetico sono stati riscontrati in prossimità degli ingressi delle linee aeree aventi, a termini di legge, determinate D.P.A.

I valori massimi dei campi elettrici e magnetici esternamente all'area di stazione sono riconducibili ai valori generati dalle linee entranti aeree o in cavo, e quindi l'impatto determinato dalla stazione stessa è compatibile con i valori prescritti dalla vigente normativa. In tutti gli altri casi i valori del campo elettrico e di quello magnetico riscontrati al suolo all'interno delle aree di stazione sono risultati compatibili con i limiti di legge. Terna ha effettuato analoghe misure anche all'interno di stazioni comprendenti impianti a 220 kV pervenendo a risultati simili.

5 CAMPI ELETTRICI E MAGNETICI GENERATI DAGLI ELETTRODOTTI INTERRATI

La rete elettrica nazionale, di cui la futura linea 132 kV "Ariano - Adria Sud" farà parte, è esercita alla frequenza di 50 Hz. A questa frequenza i campi elettrici e magnetici generati dagli elementi attivi sono due fenomeni distinti, il primo proporzionale alla tensione degli stessi, mentre il secondo proporzionale alla corrente che vi circola.

Anche i limiti applicabili per la tutela della salute della popolazione per questi due fenomeni sono molto differenti: per il campo elettrico è previsto il solo rispetto del limite di esposizione, mentre per il campo magnetico è previsto anche il rispetto di un valore di qualità, per luoghi in cui è prevista la permanenza per un tempo superiore alle 4 ore/giorno. È possibile, pertanto, analizzare distintamente i due aspetti.

5.1 Calcolo dei campi elettrici

In riferimento alla natura di cavidotti interrati, la valutazione del campo elettrico al suolo risulta in un valore trascurabile per come indicato dalla norma CEI 211-4 *"Non viene qui riportata alcuna procedura per le linee in cavo interrato in quanto sia gli schermi dei cavi sia il terreno ed i materiali delle relative trincee e cunicoli riducono praticamente a valori trascurabili il campo elettrico esterno..."*

5.2 Calcolo del Campo Magnetico

Al fine di stimare il campo magnetico prodotto dagli elettrodotti in oggetto, per determinare le DPA da applicare, si è effettuato il calcolo teorico in considerazione di quanto previsto dal Decreto Ministeriale 29/05/2008, utilizzando una portata in corrente in servizio normale calcolata come descritto nel capitolo seguente.

Il calcolo del campo magnetico è stato effettuato utilizzando il software Magic di BESHielding. Il software permette di calcolare i campi magnetici generati da sorgenti di tipo elettrico, quali trasformatori, sistemi di linee elettriche, stazioni, cabine elettriche, buche giunti, blindosbarre e impianti elettrici. Il software permette la determinazione delle fasce di rispetto per linee elettriche e cabine elettriche, secondo quanto previsto dalla Legge Quadro No. 36/2001 (esposizione ai campi magnetici della popolazione) e dal D.lgs. No. 81/08 (valutazione dei rischi in ambiente lavorativo). Il software permette inoltre di studiare le singole sorgenti (linee elettriche, cavi, sistemi multiconduttori, trasformatori) mediante configurazioni bidimensionali e tridimensionali attraverso l'integrazione della legge di Biot-Savart o lo studio di sistemi complessi, tenendo conto della tridimensionalità delle sorgenti, della loro reale posizione e della sovrapposizione degli effetti delle diverse componenti.

5.3 Correnti di calcolo

Per la verifica dei valori di campo magnetico prodotti dai raccordi in cavo interrato si è proceduto utilizzando il valore della portata di cui alla norma CEI 11-60. Essendo il cavidotto realizzato con un conduttore di alluminio con sezione di 1.600 mm², la norma CEI 11-60 prevede che tale conduttore possa portare una corrente massima in servizio normale di **1.100 A**.

5.4 Risultati

I valori di campo magnetico generati dai raccordi sono calcolati al fine di definire le ampiezze delle Distanze di Prima Approssimazione da applicarsi dall'asse della linea. Tali valori sono desunti utilizzando le correnti come descritto nel capitolo precedente.

Dal grafico in Figura 3 si evince che per l'intera tratta del cavidotto interrato, il valore di $3 \mu\text{T}$ si raggiunge ad una distanza di 2,73 m dal piano di calpestio. Arrotondando al primo intero, la **DPA** da applicarsi a ciascuno dei due raccordi risulta pertanto pari a **3 metri**.

Dal momento che i due raccordi sono posizionati ad una distanza assiale di 22, è evidente di come non vi sia alcun effetto cumulo fra i due, dal momento che il valore di $3 \mu\text{T}$ si esaurisce, all'asse del conduttore, a circa 3 m dal cavidotto stesso.

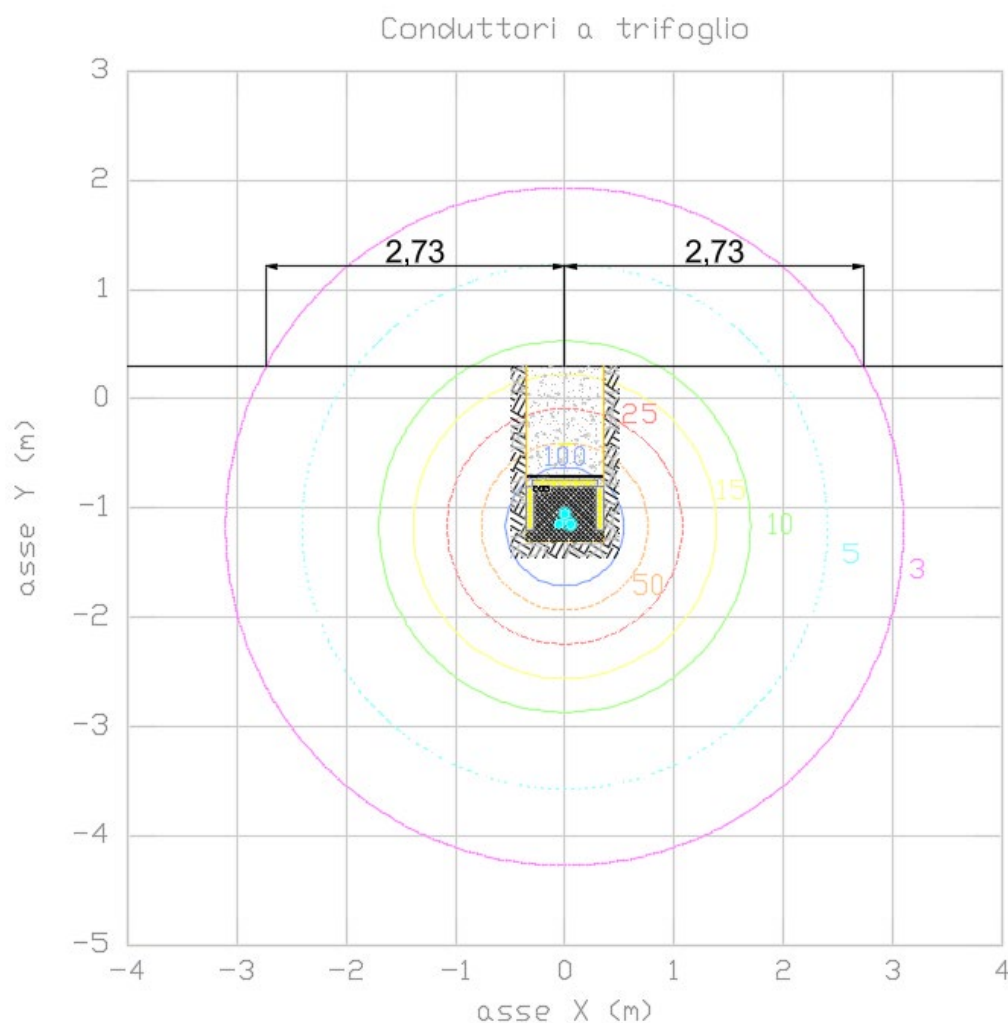


Figura 3 – Curve isolivello del campo magnetico raccordi in cavo 132 kV

6 ANALISI DEI RICETTORI

Si è proceduto a sovrapporre il tracciato dei raccordi in cavo 132 kV con le rispettive DPA come precedentemente calcolate su ortofoto. Dalla comparazione tra DPA (fascia magenta), ortofoto e catasto sono stati individuati i ricettori che potevano presentare un superamento del valore di qualità in seguito alla realizzazione delle opere in progetto (Figura 4).

Si evidenzia che all'interno di tali fasce non sono presenti ricettori sensibili.



Figura 4 - Ortofoto con indicazione delle DPA



Figura 5 - Catasto con indicazione delle DPA

7 CONCLUSIONI

Il DPCM 8 Luglio 2003 fissa i limiti di esposizione per la popolazione ai campi elettrici e magnetici generati da elettrodotti alla frequenza di rete (50Hz). Tali limiti sono pari a 100 μ T, 10 μ T e 3 μ T rispettivamente come limite di esposizione, valore di attenzione e obiettivo di qualità: gli ultimi due sono validi per esposizioni superiori alle 4 ore / giorno. In base alla definizione del DM del 29 Maggio 2008, occorre applicare la DPA alle stazioni elettriche, alle cabine primarie e secondarie e agli elettrodotti ad esse collegati.

Approssimando cautelativamente per eccesso i risultati delle simulazioni, si evidenzia che occorrerà applicare una DPA pari a **3 metri** dall'asse di ciascun raccordo che collegherà la futura Stazione di smistamento 132 kV Grillara alla nuova linea 132 kV "Ariano - Adria Sud".

Le due linee interrate avranno una lunghezza planimetrica di circa 75 m (lato Adria Sud) o 123 m (lato Ariano); lungo il loro tracciato non è presente alcun recettore sensibile di campo di induzione magnetica.

Allegato 1: Documento di Validazione



Documento di Validazione

Algoritmi di calcolo del software MAGIC[®] (MAGnetic Induction Calculation)

Revisione	Data	Elaborato	Approvato
05	11/01/2021	M.F.	S.G.
00 Emissione	07/01/2014	D.B.	M.M.

Sommario

Premessa.....	3
1 Verifica del modulo bidimensionale	3
1.1 Confronto con CEI 211-04.....	3
1.2 Confronto con codice CESI	4
2 Verifica del modulo tridimensionale.....	7
2.1 Campo prodotto da un segmento finito arbitrariamente orientato	7
2.2 Validazione sperimentale del modulo tridimensionale	8
3 Verifica del modulo tridimensionale:trasformatore di potenza	9
3.1 Verifica del modello MAGIC della singola colonna del trasformatore con modello FEM (Finite Element Method).....	9
3.2 Verifica del modello MAGIC del trasformatore completo con misure sperimentali	12
Conclusioni	13

Premessa

Il presente documento riporta le verifiche funzionali del software MAGIC® attraverso il confronto con software già esistenti e di comprovata validità e con rilievi sperimentali.

Il confronto si sviluppa in tre parti:

- 1) verifica del modulo bidimensionale
- 2) verifica del modulo tridimensionale
- 3) verifica del modulo tridimensionale di configurazioni impiantistiche con particolare riferimento al trasformatore di potenza

Le principali caratteristiche del software MAGIC® sono:

- a) software bi-tridimensionale
- b) integrazione della formula di Biot-Savart
- c) dominio infinito (nessuna condizione al contorno necessaria)
- d) trascurati effetti di mitigazione del campo dovuto a schermatura di fatto (analisi conservativa)
- e) sovrapposizione degli effetti
- f) analisi in regime simbolico (calcolo dei moduli e delle fasi)

Il software è stato sviluppato da tecnici specializzati con la collaborazione e la supervisione di docenti e ricercatori del Politecnico di Torino – Dipartimento Energia (prof. Aldo Canova e Ing. Luca Giaccone).

1 Verifica del modulo bidimensionale

La verifica del modulo bidimensionale è stata condotta mediante confronto con la formulazione analitica, come indicato dalla CEI 211-04, e mediante confronto con un codice di calcolo sviluppato dal CESI.

1.1 Confronto con CEI 211-04

Una possibile validazione del programma utilizzato può essere effettuata confrontando il campo calcolato con il programma stesso e quello calcolato per via analitica, secondo la norma CEI 211-4 paragrafo 4.3, su di un caso in cui questa seconda procedura è applicabile in modo esatto. Tale caso si riferisce ad un sistema di conduttori rettilinei, paralleli e indefiniti.

Sotto queste ipotesi l'induzione magnetica \mathbf{B} è data dall'espressione:

$$\mathbf{B} = \frac{\mu_0}{2\pi} \sum_{k=1}^N \frac{\bar{I}_k}{d_k} \bar{u}_l \times \bar{u}_r \quad (1)$$

in cui N è il numero dei conduttori, d è la distanza tra il conduttore k -esimo e il punto di calcolo; i vettori \bar{u}_l e \bar{u}_r indicano, rispettivamente, il verso della corrente e della relativa normale; \times indica il prodotto vettoriale.

In particolare è stato analizzato il caso, che verrà riportato successivamente, relativo ad una linea a doppia terna su semplice palificazione con corrente di 310 A. Come si può osservare dalla figura 1, le due curve sono praticamente coincidenti.

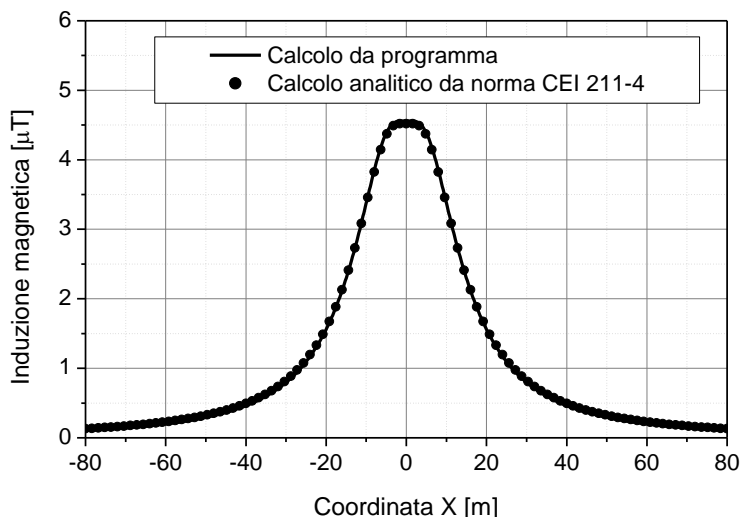


Figura 1: Induzione magnetica al suolo in prossimità di una linea aerea a doppia terna su semplice palificazione con corrente di 310: confronto tra MAGIC® e formula analitica CEI 211-4

Come si può osservare il profilo di induzione magnetica ottenuto dal software MAGIC® coincide esattamente con i punti calcolati mediante la formula analitica CEI 211-4.

1.2 Confronto con codice CESI

L'analisi del campo magnetico prodotto è stata condotta su due terne trifase di cavi affiancate. Le sezioni di affiancamento riguardano (Fig. 2):

- Buca giunti (interasse 70 cm e livello di interramento pari a 1.25 m)
- Formazione piana (interasse 35 cm e livello di interramento pari a 1.25 m)
- Distanza tra le due terne: 4m

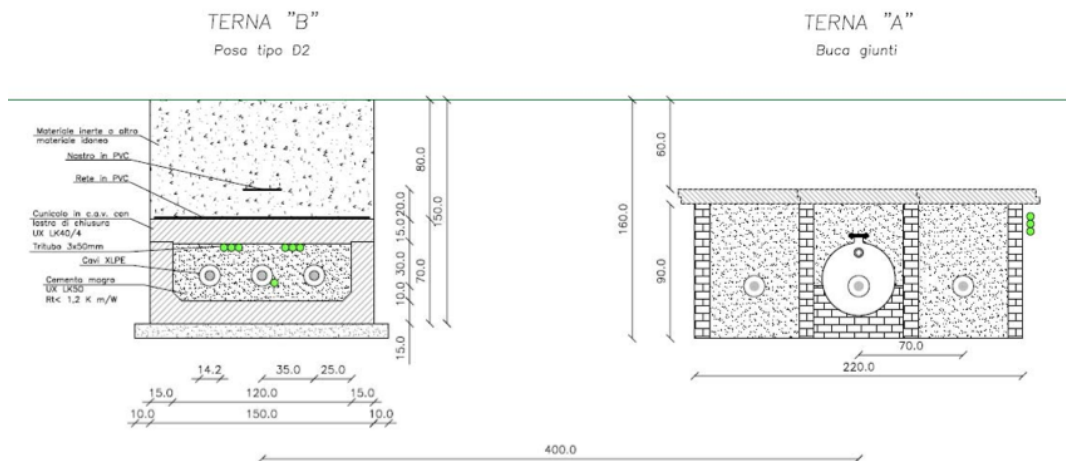


Figura 2: Affiancamento tra due linee interrate AT

Condizioni di carico e relazioni di fase:

- Terna B: $I_{eff} = 1500$ A (RST)
- Terna A: $I_{eff} = 1500$ A (TSR)

La configurazione analizzata mediante il codice sviluppato dal CESI porta alla distribuzione di campo riportata in Figura 3.

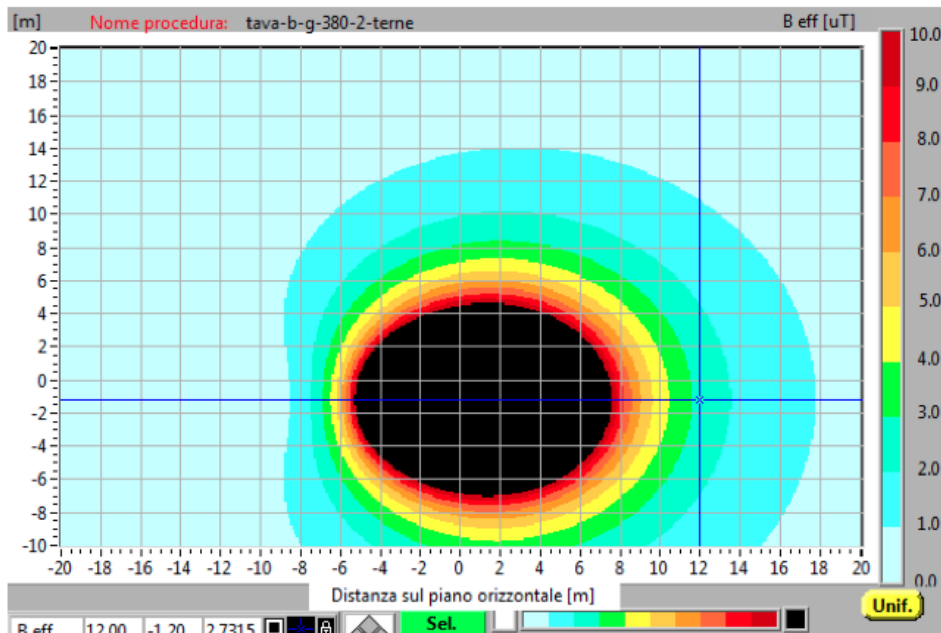


Figura 3: Mappa cromatica delle induzioni magnetiche calcolata mediante software CESI

La stessa configurazione è stata analizzata mediante il codice MAGIC® e può essere studiata attraverso due possibili funzioni messe a disposizione dal software:

- Terne parallele
- Multiconduttori 2D

In questo documento verrà utilizzato il Multiconduttore 2D (Fig. 4) che permette di definire un sistema di N conduttori posizionati arbitrariamente in cui viene applicata una corrente arbitraria.

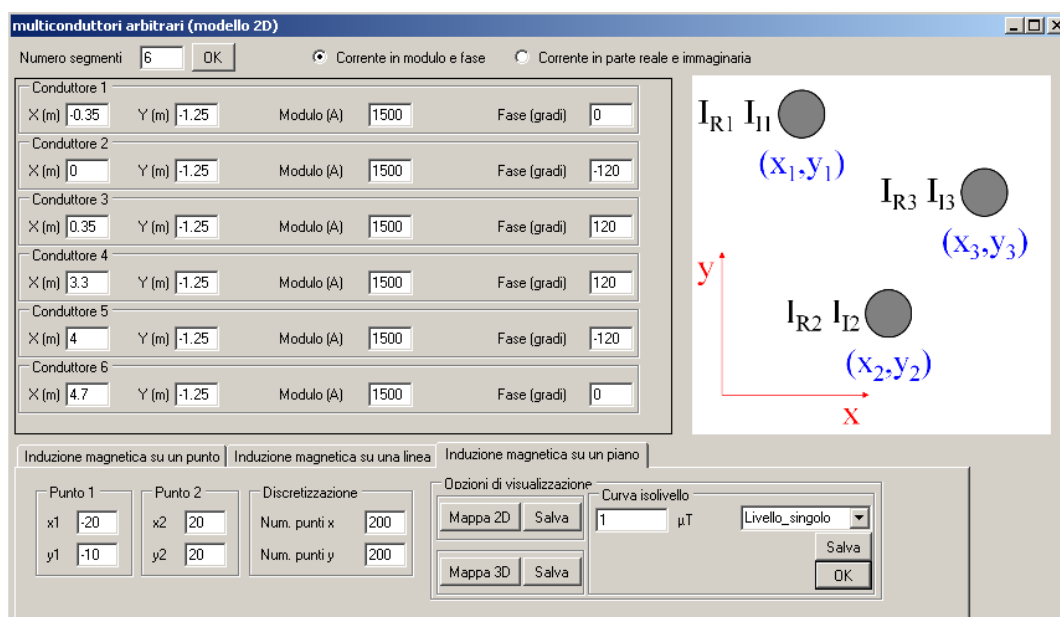


Figura 4:Schermata di ingresso modulo “multiconduttori arbitrari (modello 2D)””: dati definizione geometria e sorgenti

Nella seguente Fig. 5 è riportata la “geometria” del sistema che può essere visualizzata al termine dell’inserimento dati.

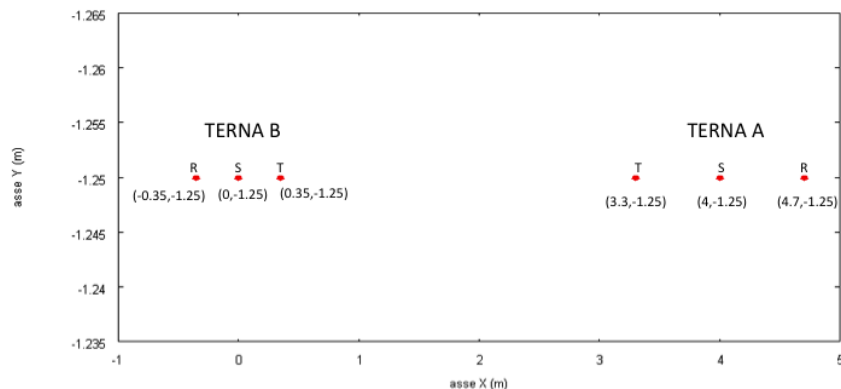


Figura 5: Geometria sorgenti

In Fig. 6 è riportata la mappa cromatica dell’induzione magnetica ottenuta dal software MAGIC® (valori in microT):

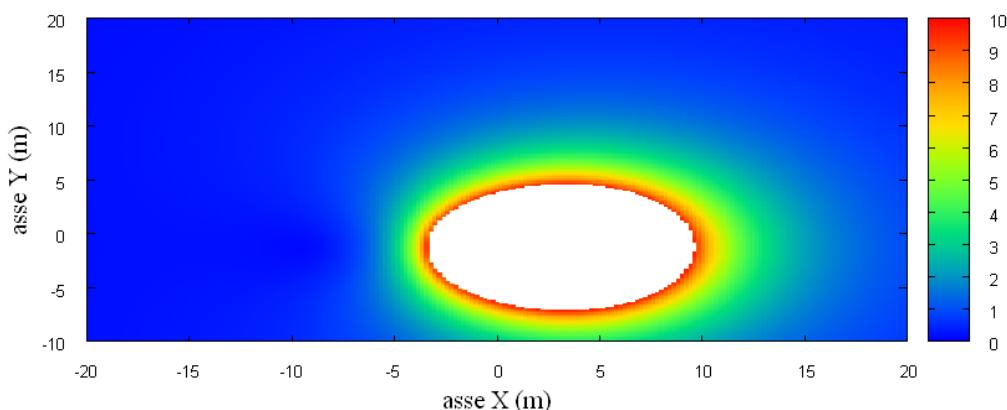


Fig. 6: Mappa cromatica dell’induzione magnetica ottenuta dal software MAGIC® (valori in microT):

In Fig. 7 sono riportate le linee isolivello dell’induzione magnetica (1, 3, 10, 100 microT) visualizzabili dal software MAGIC®.

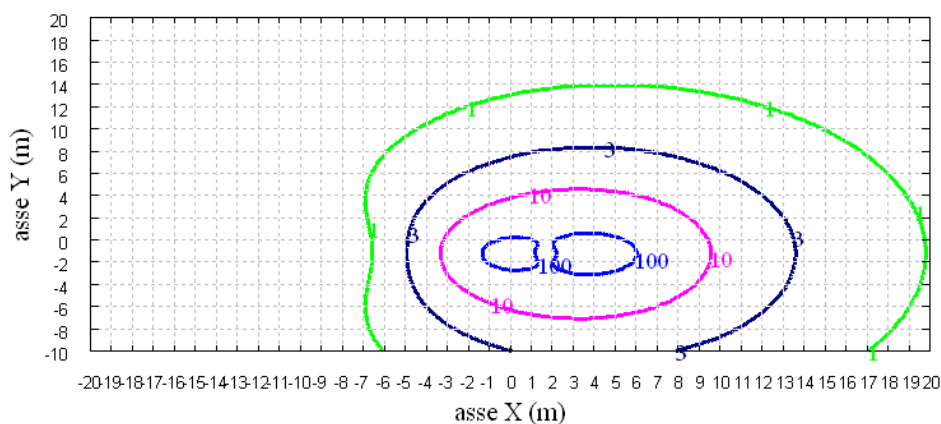


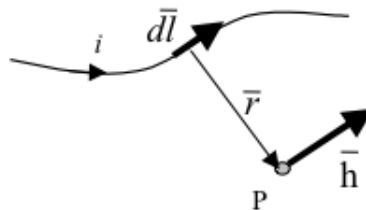
Fig. 7 Linee isolivello dell’induzione magnetica (1, 3, 10, 100 microT) da software MAGIC®.

Come si può osservare le mappe cromatiche dei due modelli risultano essere in perfetto accordo.

2 Verifica del modulo tridimensionale

Il modulo tridimensionale del MAGIC® si basa principalmente sull'integrazione della formula di Biot-Savart:

$$\vec{h} = \frac{1}{4\pi} \oint \frac{i d\vec{l} \times \vec{r}}{r^3}$$



Nelle configurazioni impiantistiche si ha spesso a che fare con fasci di cavi che il cui profilo copre percorsi approssimabili con buona precisione a delle spezzate tridimensionali. Ogni spezzata è quindi modellabile mediante una successione di segmenti opportunamente orientati nello spazio. Ne consegue che, sapendo valutare il campo di un segmento arbitrariamente orientato nello spazio, è possibile calcolare il campo prodotto da un fascio di cavi mediante la sovrapposizione degli effetti di tutti i segmenti costituenti il fascio.

2.1 Campo prodotto da un segmento finito arbitrariamente orientato

Si consideri il segmento rappresentato nella Fig. 8.

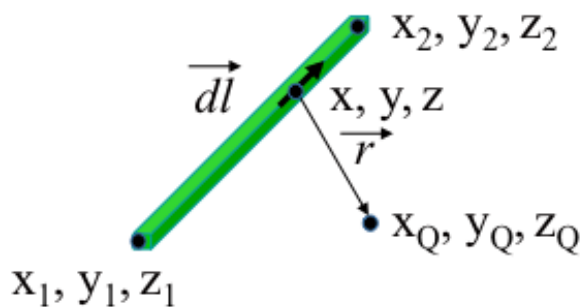


Fig. 8: Modello del segmento.

L'equazione del segmento in forma parametrica diventa la seguente:

$$\begin{cases} x = x_1 + (x_2 - x_1)t \\ y = y_1 + (y_2 - y_1)t \\ z = z_1 + (z_2 - z_1)t \end{cases}$$

$$$$

$$$$

Si consideri inoltre che:

$$\vec{r} = (x_Q - x)\vec{a}_x + (y_Q - y)\vec{a}_y + (z_Q - z)\vec{a}_z$$

$$d\vec{l} = dx\vec{a}_x + dy\vec{a}_y + dz\vec{a}_z$$

Facendo le opportune sostituzioni, la formula di Biot-Savart può essere risolta conducendo ad una formula chiusa per il calcolo delle tre componenti di campo H_x , H_y e H_z (ovvero B_x , B_y e B_z). L'integrazione, sebbene sia macchinosa e porti ad espressioni analitiche poco compatte, può essere semplicemente risolta mediante l'utilizzo di un processore simbolico. Per tutti i dettagli circa l'integrazione si consideri la seguente referenza:

Canova A.; F. Freschi; M. Repetto; M. Tartaglia, (2005), *Description of Power Lines by Equivalent Source System*. In: COMPEL, vol. 24, pp. 893-905. - ISSN 0332-1649

2.2 Validazione sperimentale del modulo tridimensionale

In Fig. 9 viene rappresentata una spira costituita da 4 conduttori rettilinei che ben rappresenta una sorgente di tipo tridimensionale.

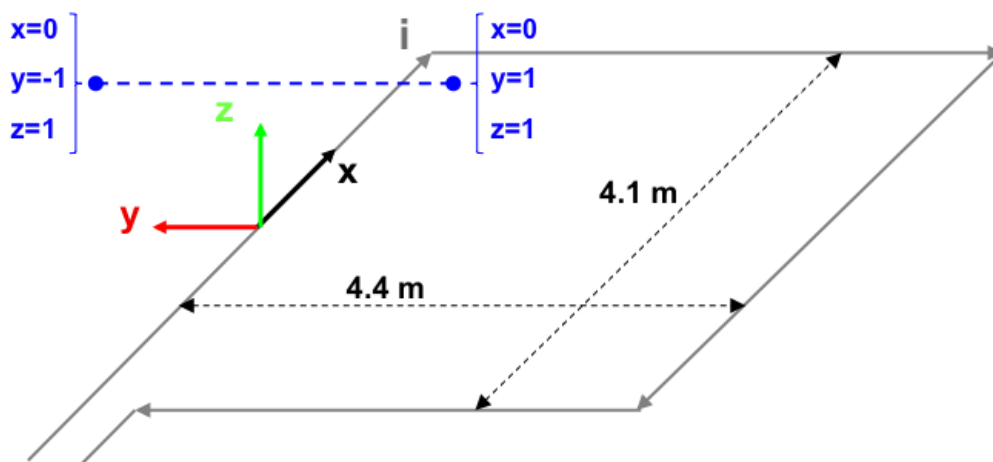


Fig. 9: Schema di spira quadrata.

Nella stessa immagine viene rappresentata una linea di confronto con le seguenti caratteristiche:

- È posta a 1 m da terra $\rightarrow z = \text{costante} = 1\text{ m}$
- Si estenda lungo l'asse $y \rightarrow x = \text{costante} = 0\text{ m}$
- E' lunga due metri: $\rightarrow y \text{ minimo} = -1\text{ m}$, $y \text{ massimo} = 1\text{ m}$

Su tale linea di confronto sono state eseguite delle misure sperimentali mediante sistema composto da sonda PMM-EHP50 C le cui caratteristiche sono riportate nel seguente elenco:

- Range di frequenze 5Hz – 100 kHz
- Range di campo elettrico 0.01 V/m – 100 kV/m
- Range di campo magnetico 1 nT – 10 mT
- Risoluzione 0.01 V/m - 1 nT
- Tempo di campionamento 30, 60 sec
- Massima acquisizione 1600 ore con acquisizione ogni 60 sec.
- SPAN 100, 200, 500 Hz, 1 kHz, 2 kHz, 10 kHz, 100 kHz

Viene infine eseguito il confronto tra misure sperimentali e calcolo eseguito mediante software MAGIC®. I risultati di confronto sono riassunti nella seguente figura.

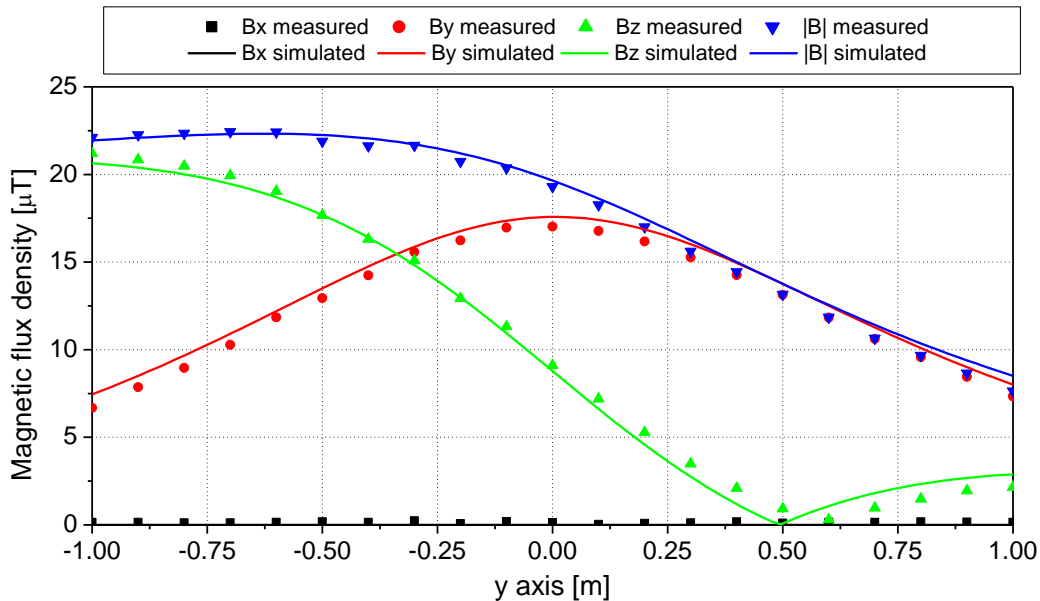


Fig. 10: Induzione magnetica misurata e calcolata mediante software MAGIC®.

Si dimostra quindi che le misure sperimentali sono in perfetto accordo con il modello implementato nel software MAGIC®.

3 Verifica del modulo tridimensionale:trasformatore di potenza

In questa sezione vengono riportati i principali risultati ottenuti utilizzando il software MAGIC® nella simulazione dei campi generati da un trasformatore in resina (il trasformatore in olio rappresenta una situazione semplificata rispetto a quello in resina).

La validazione è condotta in due step:

- Verifica del modello MAGIC della singola colonna del trasformatore con modello FEM (Finite Element Method)
- Verifica del modello MAGIC del trasformatore completo con misure sperimentali

Maggiore dettaglio sui confronti sono riportati nella seguente referenza:

A. Canova, L. Giaccone, M. Manca, R. Turri, P. Casagrande, "Simplified power transformer models for environmental magnetic impact analysis", 2° Int. Conf. on EMF-ELF, Paris, 24-25 Marzo 2011.

3.1 Verifica del modello MAGIC della singola colonna del trasformatore con modello FEM (Finite Element Method)

MAGIC® propone due diversi modelli per il trasformatore: il primo di tipo semplificato e valido a partire da circa 0.5-1m dal trasformatore, il secondo più rigoroso valido anche a piccole distanze dal trasformatore. Nel seguito i due modelli verranno indicati come Modello 1 e Modello 2.

Un primo confronto tra i due modelli è stato effettuato con un codice agli elementi finiti (FEMM) di tipo assialsimmetrico. In Figura 11 sono riportate le principali dimensioni del caso analizzato: avvolgimento primario e secondario di un trasformatore di 630 kVA in resina e l'indicazione delle linee di calcolo.

Nei calcoli che seguono i due avvolgimenti sono caratterizzati dalle stesse amperspire in opposizione ($N1 \cdot I1 = N2 \cdot I2$) e verranno considerate, come sorgenti, le correnti nominali.

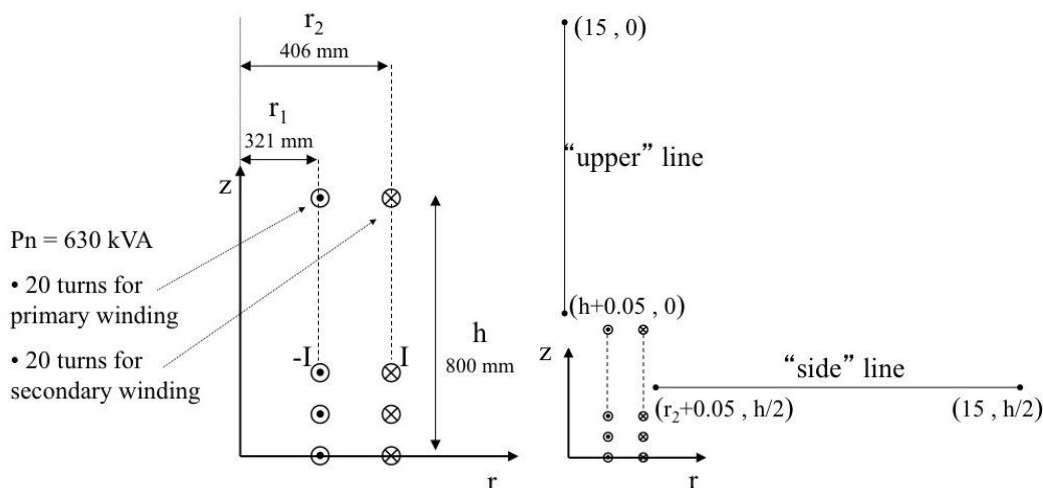


Fig. 11. Geometria del sistema (1) e linee di calcolo (2)

Le Fig. 12 e 13 mostrano, rispettivamente, i valori di induzione magnetica lungo la linea ad 1m dal lato degli avvolgimenti e lungo la linea ad 1.5 m sopra gli avvolgimenti. Le figure mettono a confronto il “modello 1 e 2” ed il calcolo, assunto come riferimento, effettuato mediante codice FEM.

Si può osservare un ottimo accordo tra i “modelli 1 e 2” adottati nel MAGIC® lungo entrambe le linee mentre per distanze inferiori al metro il modello semplificato, con particolare riferimento al campo lungo la linea verticale, risulta portare a delle discrepanze significative. Per tali distanze è pertanto conveniente utilizzare il “modello 2” che risulta più accurato a spese di un maggiore peso computazionale (nell'ordine comunque delle decine di secondi).

I modelli inseriti nel MAGIC® sono inoltre confrontati con il modello proposto da un altro software commerciale (EFC-400) che verrà denominato “Modello 3”. Tale modello è basato sull'ipotesi che il campo magnetico disperso, essendo correlato con la reattanza di dispersione del trasformatore, risulta quantitativamente correlato alla tensione di corto circuito. Il modello proposto da EFC-400 è quindi costituito da un unico avvolgimento (che sintetizza il primario ed il secondario) percorso da una corrente ridotta, rispetto alla corrente nominale, secondo la seguente formula:

$$I = I_R \cdot \frac{V_{SC} \%}{100} \quad (14)$$

in cui I_R è la corrente nominale (di primario o secondario) e V_{SC} è la tensione di cortocircuito percentuale. Può essere utilizzata la corrente di primario o di secondario (I_{R1} o I_{R2}) e corrispondentemente occorre considerare le spire di primario o secondario (N_1 e N_2).

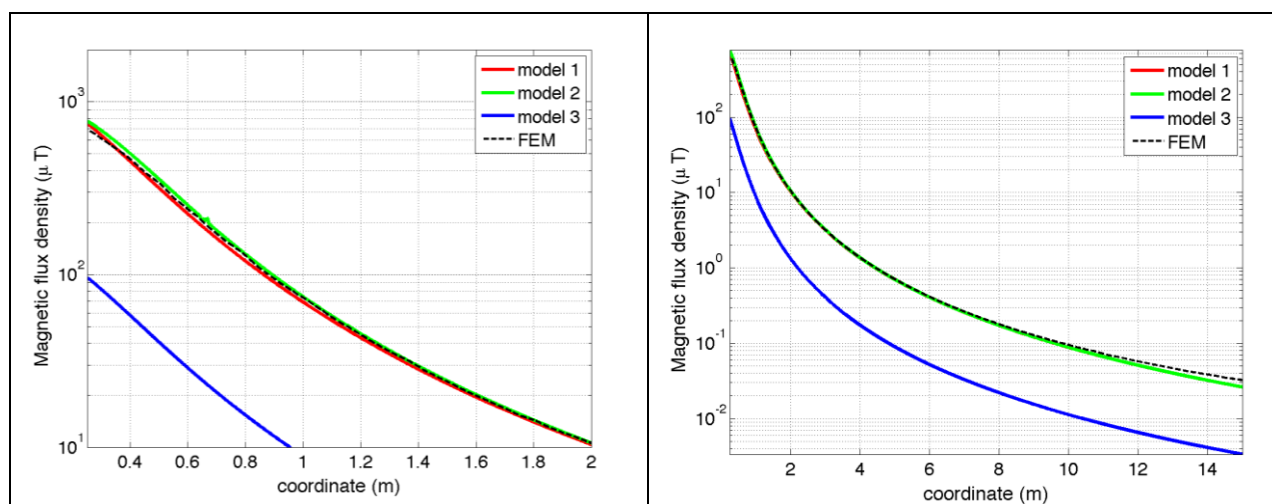


Fig. 12. Induzione magnetica lungo la linea laterale

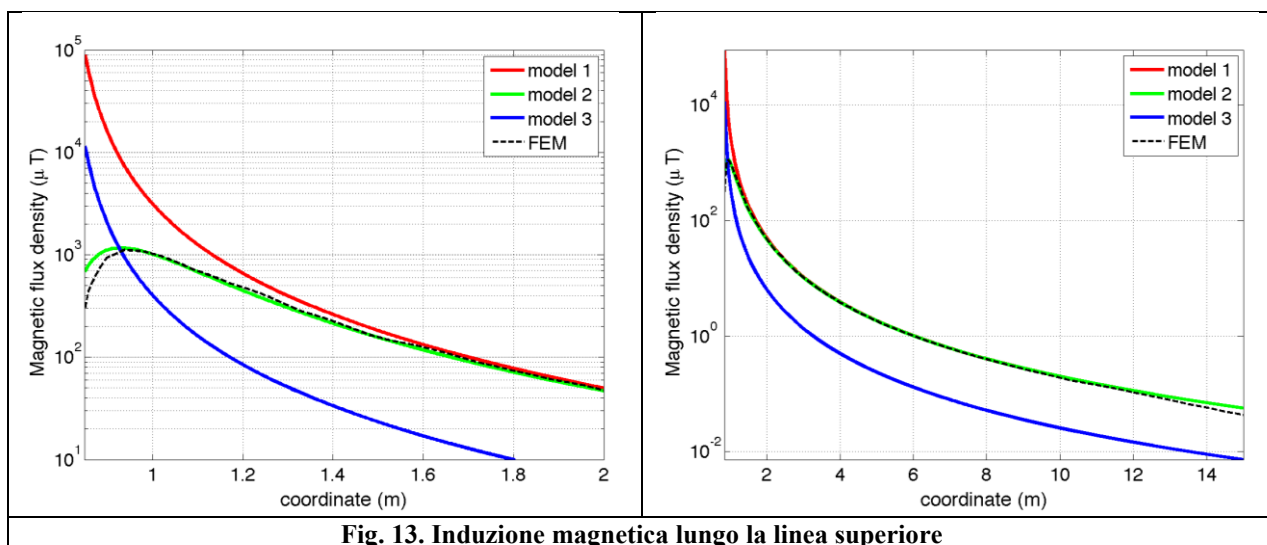


Fig. 13. Induzione magnetica lungo la linea superiore

Come si può osservare dai profili di induzione magnetica il modello 3 risulta scarsamente idoneo a modellare i due avvolgimenti concentrici di primario e secondario.

3.2 Verifica del modello MAGIC del trasformatore completo con misure sperimentali

In questo paragrafo il modelli vengono confrontati con dati sperimentali. Il caso analizzato si riferisce ad un trasformatore in resina da 630 kVA, 15kV/400V, funzionante in condizioni di corto circuito (Fig. 14). Il trasformatore viene alimentato con una tensione che fa circolare negli avvolgimenti una corrente pari al 42% della corrente nominale, si ha quindi 10.4 A di primario (lato MT) e 390 A di secondario (lato BT). Il modello del trasformatore risulta quindi completo e costituito da tutti gli avvolgimenti delle tre fasi.

Le linee di calcolo S1 ed S2 (Fig. 15) sono poste ad 1.5m dal piano di appoggio del trasformatore. E' importante sottolineare che il contributo dei terminali di BT influisce significativamente il campo magnetico ambientale, specialmente nella direzione S1. Pertanto, l'introduzione di tali sorgenti aggiuntive agli avvolgimenti porta ad una riduzione degli scostamenti tra i vari modelli.

In Fig. 16 e 17 sono riportati i confronti tra le induzioni magnetiche, lungo le linee S1 ed S2, misurate e calcolate con i diversi modelli.

Come si può osservare, in particolare per la linea S2 (dove il contributo delle connessioni è trascurabile) il modello 1 ed il modello 2 approssimano in modo soddisfacente i dati sperimentali.

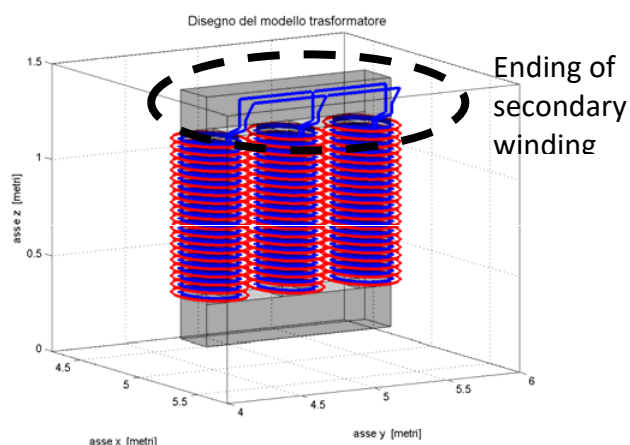


Fig. 14: Connessioni elettriche considerate al lati BT.

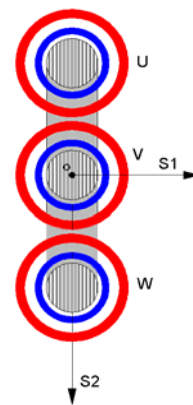


Fig. 15: Linee di calcolo S1 ed S2

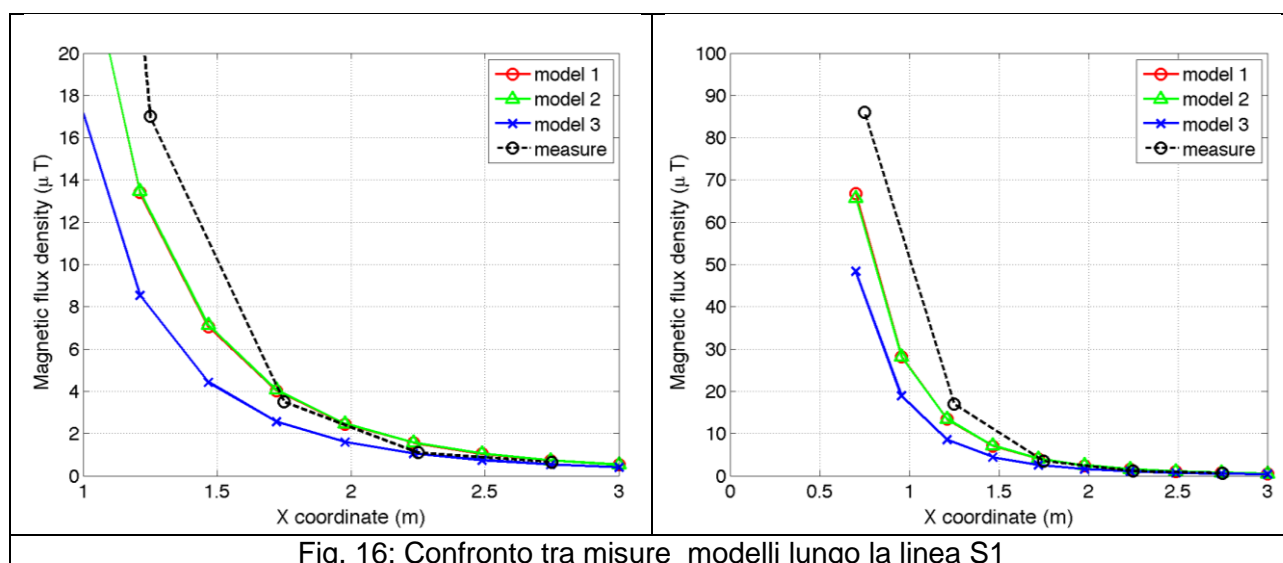


Fig. 16: Confronto tra misure modelli lungo la linea S1

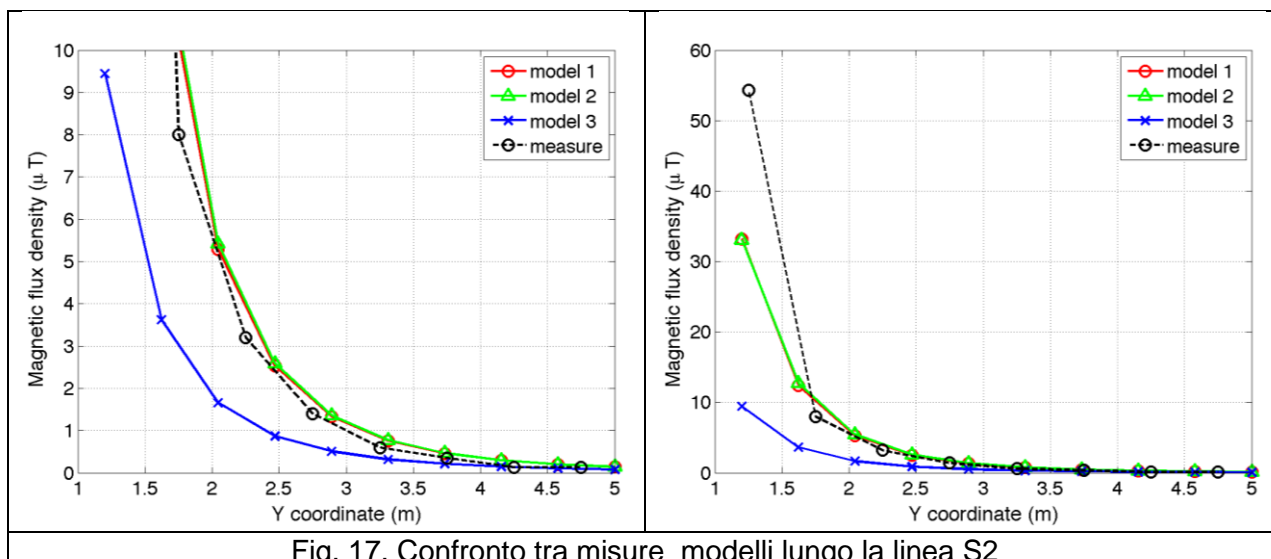


Fig. 17. Confronto tra misure e modelli lungo la linea S2

Conclusioni

Il presente documento si propone di fornire alle autorità competenti tutti gli elementi necessari affinché il software MAGIC® possa essere validato secondo quanto richiesto dal Decreto Ministeriale (160) del 29/05/2008 “Approvazione della metodologia di calcolo per la determinazione delle fasce di rispetto per gli elettrodotti”.

Come indicato nell’art. 5.1.2 (Calcolo delle fasce di rispetto per linee elettriche) del decreto del 29/05/2008, i modelli tridimensionali non sono ancora standardizzati, tuttavia un software in cui i modelli soddisfino ai seguenti requisiti indicati nel decreto:

“...i modelli utilizzati devono essere descritti in termini di algoritmi implementati, condizioni al contorno e approssimazioni attuate. Essi devono essere validati attraverso misure o per confronto con modelli che abbiano subito analogo processo di verifica. La documentazione esplicativa e comprovante i criteri di cui sopra deve essere resa disponibile alle autorità competenti ai fini dei controlli”, può essere ritenuto idoneo allo scopo e, a tal fine, è stato redatto il presente documento.

Per quanto concerne in particolare le cabine elettriche, la complessità delle sorgenti in esame richiede una valutazione accurata che tenga conto principalmente della tridimensionalità delle singole sorgenti e l’effetto prodotto dalla combinazione delle stesse (sovrapposizione degli effetti). Nelle analisi precedentemente svolte sono stati analizzati e validati i principali componenti costituenti le cabine quali linee elettriche di connessione (tratti di conduttori di lunghezza finita), quadri elettrici (tratti conduttori di lunghezza finita) e trasformatori (elementi toroidali e tratti di conduttore di lunghezza finita).

Dai risultati ottenuti e presentati è quindi possibile concludere che il Software MAGIC® ha le caratteristiche per essere rispondente alle indicazioni richieste dal Decreto Ministeriale (160) del 29/05/2008, lasciando ovviamente alle autorità competenti la verifica ed il giudizio finale.